

# Mécanique quantique – L2

Antoine Bourget - Alain Comtet - Antoine Tilloy

Séance du 12 décembre 2014 - [www.lkb.ens.fr/rubrique327](http://www.lkb.ens.fr/rubrique327)

## TD 9 : Etats quantiques d'atomes de césium dans un piège harmonique

---

On s'intéresse dans tout le problème à un oscillateur harmonique 1D, avec un hamiltonien  $H_0$  :

$$H_0 = \frac{1}{2}m\omega_0^2 Z^2 + \frac{1}{2m}P^2. \quad (1)$$

$Z$  et  $P$  sont les opérateurs de position et d'impulsion,  $m$  la masse de l'oscillateur et  $\omega_0$  sa pulsation de résonance.

### 1 Présentation du piège harmonique

On admet qu'un faisceau laser convenablement désaccordé par rapport à une transition atomique crée pour le mouvement externe des atomes une énergie potentielle proportionnelle à l'intensité locale du faisceau. Dans cette partie, le potentiel est réalisé en croisant deux faisceaux laser ( $\lambda = 1\mu\text{m}$ ) qui font chacun un angle de  $53^\circ$  avec le plan horizontal. La figure 1 présente la géométrie de l'expérience et le potentiel effectif pour les atomes de césium utilisés.

Dans toute la suite, on ne s'intéressera au mouvement des atomes que selon l'axe vertical ( $Oz$ ).

1. Pourquoi le potentiel est-il modulé ? Quelle est sa période spatiale  $a$  ?
2. Quelle est l'origine de l'enveloppe observée pour le potentiel ? De la (faible) composante affine ?

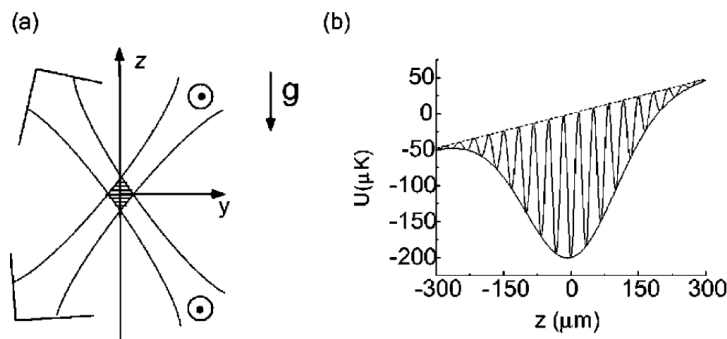


FIGURE 1 – Géométrie de l'expérience (a) et potentiel vu par les atomes de césium (b). Pour des raisons de clarté, les oscillations représentées ne sont pas à l'échelle (de l'ordre du micron).

3. On néglige ces effets pour prendre une énergie potentielle de la forme :

$$U = \frac{U_0}{2} \left[ 1 + \cos \left( 2\pi \frac{z}{a} \right) \right], \quad (2)$$

avec  $U_0$  de l'ordre de  $2.8 \times 10^{-27}$  J.

- (a) Dans quelle mesure peut-on assimiler les puits à des puits harmoniques ?
- (b) Calculer alors la pulsation  $\omega_z$  des puits harmoniques, la masse des atomes de césium étant de 133 ua ( $1 \text{ ua} = 1.66 \times 10^{-27} \text{ kg}$ ).
- (c) Calculer également la dispersion en position  $\Delta z_0$  et en impulsion  $\Delta p_0$  de l'état fondamental  $|n=0\rangle$ . Vérifier que pour les états faiblement excités ( $n \leq 10$ ), les puits peuvent être considérés comme harmoniques.
- (d) A quelle température les atomes doivent-ils être pour peupler uniquement l'état fondamental ?

Pour les expériences décrites dans la suite, on charge l'ensemble des puits avec des atomes issus d'un piège magnéto-optique. Le nuage d'atomes a initialement une taille d'environ  $56 \mu\text{m}$  et une température de  $13 \mu\text{K}$ . On le refroidit encore de façon à placer les atomes majoritairement dans l'état  $|n=0\rangle$  du puits où ils sont piégés. On supposera par la suite que tous les atomes sont initialement dans cet état. A partir de l'état  $|0\rangle$ , on peut éventuellement les préparer dans d'autres états  $|n\rangle$ , et même dans des combinaisons linéaires d'états  $|n\rangle$ .

## 2 Technique du temps de vol

On se propose ici de mesurer directement la **distribution en impulsion** d'un état  $|n\rangle$  grâce à un système d'imagerie par absorption, qui permet d'obtenir la **distribution de position** de l'ensemble des atomes.

- 1. Pourquoi n'est-il pas intéressant d'imager directement la distribution en position des atomes, en présence du potentiel harmonique ?
- 2. On utilise une technique de *temps de vol*. A  $t = 0$ , on coupe le piège brusquement. On admettra que cela ne modifie pas l'état quantique des atomes, qui sont toujours, immédiatement après la coupure des faisceaux, dans l'état  $|n\rangle$ . Au bout d'un temps  $\tau$ , on utilise une technique d'imagerie, qui donne accès à la distribution de position des atomes au temps  $\tau$ .
  - (a) Quel est le mouvement des atomes après la coupure du piège ?
  - (b) Expliquer comment on peut alors remonter à la distribution des impulsions dans l'état  $|n\rangle$  initial.
  - (c) Quelle contrainte  $\tau$  doit-il vérifier pour interpréter simplement les résultats ?  
Faire une application numérique.

3. On prépare les atomes dans l'état fondamental  $|0\rangle$  de leur puits. On réalise un temps de vol avec  $\tau_{\text{vol}} = 6$  ms. La figure 2 présente l'image 2D obtenue sur la caméra CCD (courbe a) et le résultat d'une intégration de cette image selon la direction  $x$  (courbe c).
- (a) Utiliser le résultat expérimental de la figure 2 pour évaluer la largeur en impulsion de l'état fondamental et comparer le résultat obtenu à sa valeur théorique.
- (b) Que faut-il prendre en compte pour améliorer encore l'accord entre la valeur expérimentale et celle attendue ?
4. On prépare maintenant les atomes dans l'état  $|n = 1\rangle$ . Le temps de vol est réalisé maintenant avec  $\tau_{\text{vol}} = 10$  ms. Les courbes (b) et (d) de la figure 2 présentent là-encore le résultat observé sur la caméra CCD et son intégration selon  $x$ .  
Expliquer la structure observée.

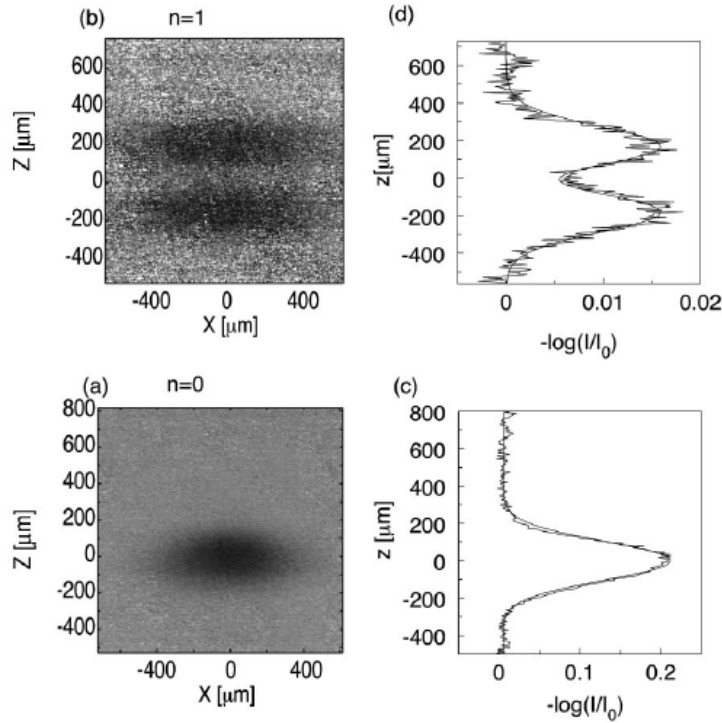


FIGURE 2 – Distribution de densité des états  $|0\rangle$  et  $|1\rangle$  après temps de vol.

### 3 Réalisation d'un état *comprimé*

On utilise le même système que dans la partie précédente mais, l'intensité laser ayant été modifiée, on a maintenant  $\omega_z = 2\pi \times 85$  kHz.

On réalise la séquence suivante, les atomes étant initialement dans l'état  $|0\rangle$  de chaque puits :

- On coupe le piège pendant un temps  $\tau_1 = 8 \mu\text{s}$ , avant de le rétablir
- On laisse s'écouler un temps  $\tau_2$  variable
- On mesure la distribution en impulsion des atomes

On admet là-encore que la coupure (ou le rétablissement) du faisceau de piégeage ne modifie pas l'état des atomes.

1. En admettant que l'évolution du système dans l'espace des phases  $\{z, p_z\}$  est similaire à celle d'une fonction de distribution classique, représenter cet état après le temps  $\tau_1$ .
2. Pourquoi parle-t-on d'*état comprimé*? Quelle est la grandeur comprimée quand on re-branche le piège? Après le temps  $\tau_2$ ?
3. Expliquer le résultat expérimental présenté sur la figure, notamment la courbe théorique tiretée.
4. On obtient pour certains temps  $\tau_2$  une valeur de  $\Delta p$  (notée  $p_{\text{rms}}$ ) inférieure à celle de l'état fondamental ( $p_0$ ). Cela viole-t-il l'inégalité de Heisenberg?
5. Quels effets peut-on envisager de prendre en compte pour obtenir la seconde courbe théorique?

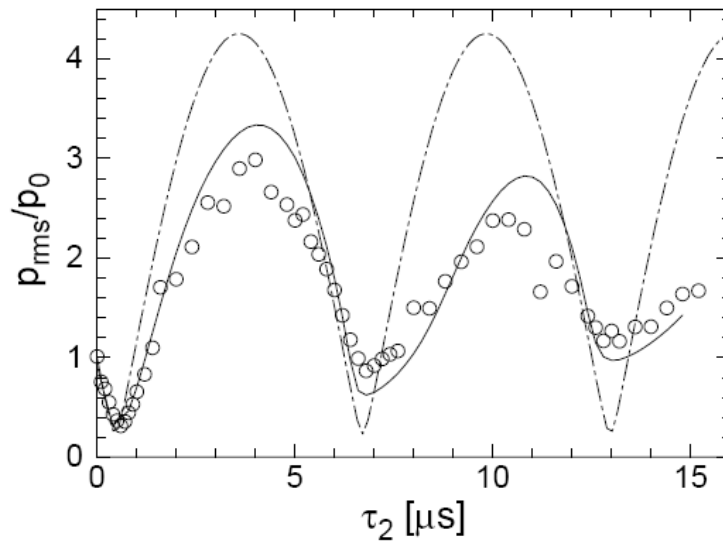


FIGURE 3 – Evolution de la largeur en impulsion mesurée avec  $\tau_2$ . Ronds : points expérimentaux. Courbes tiretée et pleine : modèles théoriques.